

ریز رخساره‌های رسوی و جغرافیای زیستی دیرینه "گذر سازند چهل‌کمان به سازند خانگیران (پالئون)"، شرق حوضه رسوی کپه‌داغ

علی‌اصغر ثیاب‌قدسی^{*}، میرامیر صلاحی^۱ و بتول ریوندی^۲

۱- دانشگاه ارومیه، دانشکده علوم پایه، گروه زمین‌شناسی

۳- دانشگاه فردوسی مشهد، دانشکده علوم پایه، گروه زمین‌شناسی

* A.siabeghsy@urmia.ac.ir

دریافت: ۹۲/۱/۲۴ پذیرش: ۹۲/۷/۲۷

چکیده

حوضه رسوی کپه‌داغ در شمال و شمال‌شرقی ایران قرار گرفته و سازندهای چهل‌کمان و خانگیران از جمله مهم‌ترین سازندهای پالئون این حوضه محسوب می‌شوند. بخش فوقانی سازند چهل‌کمان در مکان برش الگو شامل سنگ آهک‌های ماسه‌ای، مارن و سنگ آهک است که با گذر تدریجی به شیل‌های سازند خانگیران تبدیل می‌شود. در این مطالعه شرایط رسویگذاری بخش فوقانی سازند چهل‌کمان و قاعده سازند خانگیران در ارتباط با فونای گاستروپودی و اثرات فسیلی مورد مطالعه و بررسی قرار گرفته است. اثر فسیل‌های شناسایی شده (تالاسینوئیدس و افیومورفا) در ارتباط با رخساره‌های پنهانه جزر و مدی و لاجونی بوده که بیانگر تشکیل در بخش‌های کم عمق حوضه است. همچنین در این مطالعه گاستروپودهای Globularia از جنس Ampullinid برای اولین بار از حوضه رسوی کپه‌داغ شناسایی شدند که با توجه به قرار گیری آن‌ها در رخساره مربوط به لاجون، می‌توانند نشان دهنده بخش‌های کم عمق پلت فرم کربناته از نوع رمپ برای قسمت فوقانی سازند چهل‌کمان باشند. مطالعه دیرین زیست‌شناسی آن‌ها نشان دهنده تعلق حوضه رسوی کپه‌داغ به قلمرو تبتیس می‌باشد. این جنس تاکنون از بخش‌های مختلفی از آسیای مرکزی، اروپای شرقی، مرکزی و غربی نیز گزارش گردیده است. با توجه به حضور این جنس در بخش فوقانی سازند چهل‌کمان (پالئون پسین، اثوسن پیشین) حوضه رسوی کپه‌داغ پیشنهاد می‌شود حضور این جنس در لایه‌های به سن بعد از اثوسن پیشین به سمت اروپا، نشان دهنده مسیر مهاجرت جنس مذبور از شرق به غرب بوده که می‌توان حوضه توران را شرقی‌ترین نقطه حضور این تاکسا در نظر گرفت که در طی آن حوضه آنانوی ترکیه نیز در وسط این مسیر قرار گرفته است.

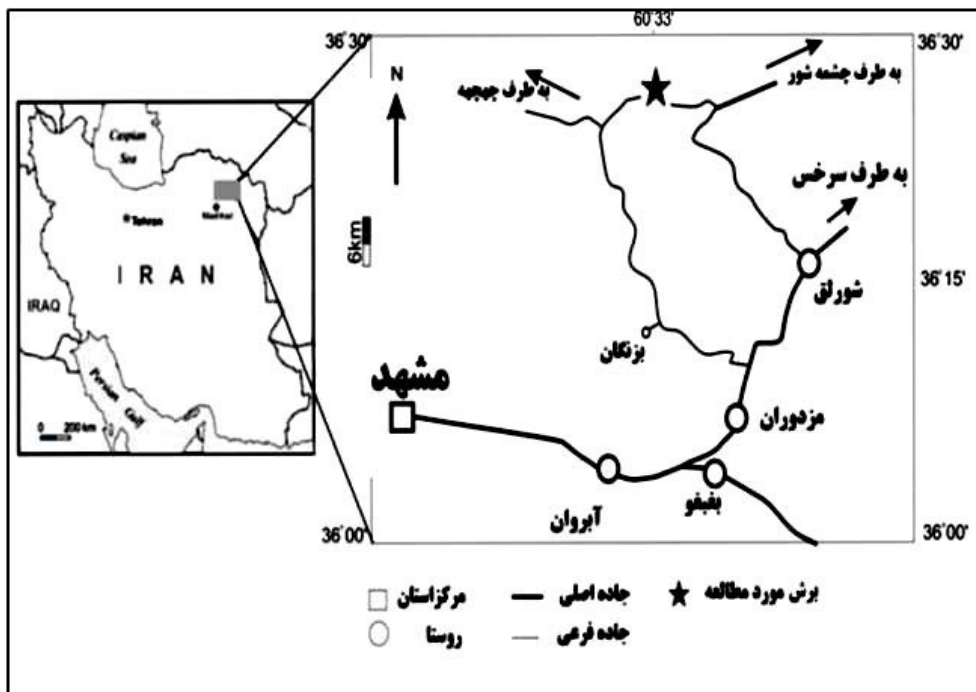
واژه‌های کلیدی: حوضه رسوی کپه‌داغ، سازند چهل‌کمان، سازند خانگیران، اثرات فسیلی، گاستروپودهای Ampullinid

مقدمه

برش‌هایی است که در آن سازند چهل‌کمان و سازند خانگیران از رخنمون خوبی برخوردار هستند.

موقعیت جغرافیایی و راه‌های دسترسی: منطقه سرخس شامل بخشی شرقی حوضه رسوی کپه‌داغ می‌باشد. برای رسیدن به برش مورد مطالعه بایستی در جاده اصلی مشهد به سمت سرخس حرکت کرد تا به روستای شورلق رسید. پس از طی حدود ۳۰ کیلومتر در جهت شمال‌غرب و رسیدن به ناوديس چهل‌کمان، می‌توان برش مورد مطالعه را در داخل ناوديس و در نقطه‌ای به مختصات طول جغرافیایی ۳۶° ۳۳' ۳۳'' شرقی و عرض جغرافیایی ۵۶° ۳۶' ۳۶'' شمالی ملاحظه کرد (شکل ۱).

حوضه‌ی رسوی کپه‌داغ در شمال خاور ایران پس از برخورد صفحه ایران با صفحه توران در مژوزویک پسین و بسته شدن دریای هرسینین در شمال خاور ایران تشکیل شده است [۱۱]. سنگ‌های رسوی ترشیزی در این حوضه شامل رسوبات قاره‌ای و دریایی است که رسوبات دریایی منحصر به زمان پالئون بوده و شامل سازندهای چهل‌کمان و خانگیران می‌باشد [۱۱]. به علت فرسایش عمیق واحدهای سنگی پالئون کپه‌داغ در ایران، سازندهای چهل‌کمان و خانگیران در نواحی بسیار محدود و معددودی باقی‌مانده است که از جمله رخنمون‌های کامل آن می‌توان به جنوب و جنوب غربی دشت سرخس اشاره کرد [۱]. برش ناوديس چهل‌کمان واقع در جنوب غربی دشت سرخس نیز از جمله



شکل ۱. نقشه موقعیت جغرافیایی و راه‌های دسترسی به منطقه مورد مطالعه

اساس هارزهاوسر [۹]، اکان و هوشگور [۱۰] و اثر فسیل‌های موجود بر اساس زیلاخر [۱۱] شناسایی و توصیف شده‌اند.

واحدهای سنگ چینه‌ای

واحدهای سنگ چینه‌ای در این منطقه منحصرًا شامل سازندهای چهل‌کمان و خانگیران می‌باشند. لیتواستراتیگرافی سازند چهل‌کمان در این منطقه توسط محبوی و همکاران [۳۷] مورد مطالعه قرار گرفته است. بر این اساس سازند چهل‌کمان در این برش چینه‌شناسی از ۴ واحد سنگی تشکیل شده است که به طور کلی از سنگ آهک، دولومیت، مارن، ماسه سنگ آهکی و شیل تشکیل شده است. فونای فسیلی که در این مطالعه مورد بررسی قرار گرفته است، در رسوبات انتهایی واحد چهارم این سازند و در ۴۵ متر انتهایی این سازند قرار دارد. این رسوبات عمدتاً از سنگ آهک‌های متوسط لایه کرم تا خاکستری روشن تشکیل شده‌اند که توسط سنگ آهک‌های ماسه‌ای نازک تا متوسط لایه کرم ادامه می‌یابد (شکل ۲). اثر فسیل‌ها در مرز مشترک این دو لیتولوژی به فراوانی مشاهده می‌شود. فونای گاسترولوپود نیز در بخش انتهایی سنگ آهک و هم‌چنین در سنگ آهک‌های ماسه‌ای بالای آن گستردگی شده‌اند. یک میان

روش کار

در این تحقیق به منظور بررسی دقیق مرز بین سازندهای آهکی چهل‌کمان و شیلی خانگیران نمونه‌برداری بصورت سیستماتیک و با فواصل نزدیک از مرز فوق صورت گرفت. در ادامه از نمونه‌های برداشت شده سنگی سازند چهل‌کمان ۲۲ مقاطع نازک تهیه گردید و نمونه‌های شیلی سیست سازند خانگیران نیز به منظور بررسی محتوای فسیلی مورد شستشو در الکهای ۵۰، ۱۲۰ و ۲۳۰ میکرون قرار گرفتند. جهت شناسایی رخساره‌های رسوی و بررسی تغییرات رخساره‌ای، برش‌های نازک تهیه شده توسط میکروسکوپ پالریزان مورد مطالعه قرار گرفت. نامگذاری سنگ‌های کربناته در صوراً به روش گرابو [۲۹] و برای نامگذاری رخساره‌ها از روش دانهام [۲۱] استفاده شده است. برای تفکیک دولومیت از کلسیت در مقاطع نازک، نمونه‌ها توسط محلول آلیزارین قرمز و به روش دیکسون [۲۰] رنگ‌آمیزی شدند. تعداد ۵ نمونه شیلی از قسمت تحتانی سازند خانگیران به منظور بررسی محتوای فسیلی و تعیین شرایط رسوبگذاری به روش زپدا [۵۲] شسته شد و توسط میکروسکوپ بینوکولار مورد مطالعه قرار گرفت. جهت بررسی شرایط تشکیل رخساره‌های شناسایی شده، این رخساره‌ها با رخساره‌های استاندارد فلوگل [۸] مقایسه شده‌اند. فونای گاسترولوپودی نیز بر

نخودی رنگ (شکل ۲، C) قرار دارند که در نهایت به شیل‌های سبز زیتونی سازند خانگیران ختم می‌شود که با توجه به ترکیب سنگ‌شناسی خود، ریخت‌شناسی پست‌تر و تپه ماهوری را به وجود آورده است.

لایه از مارن قرمز رنگ به ضخامت ۹ سانتی‌متر بر روی این آهک‌های ماسه‌ای قرار گرفته است (شکل ۲، B). پس از این میان لایه مارنی مجدد آهک‌های ماسه‌ای و در ادامه سنگ آهک و سنگ آهک‌های دولومیتی زرد تا



شکل ۲) تصاویر صحرایی از بخش انتهایی سازند چهل کمان: (A) نمای کلی از سنگ آهک‌های خاکستری رنگ قسمت انتهایی سازند چهل کمان. (B) مارن قرمز رنگ که به ضخامت ۹ سانتی متر دیده می‌شود. (C) آهک‌های دولومیتی بخش انتهایی که به شیل‌های خانگیران منتهی می‌گردد.

است و به صورت تک بلور و دارای خاموشی مستقیم تا کمی موجی هستند.

رخساره B (دولومادستون)

این زیررخساره حاوی دولومیت ریزبلوردر اندازه ۲۰ تا ۳۰ میکرون در زمینه ماتریکس آهکی است (شکل ۳، D). این رخساره در سطح زمین به صورت کلسی‌لوتاپیت‌های نازک لایه خاکستری روش دیده می‌شود.

رخساره C (پکستون پلوئیدی)

این رخساره دارای ۴۰٪ پلوئید در اندازه ۰/۲ تا ۰/۳ میلی‌متر است. پلوئیدها دارای جورش‌دگی خوب و شکل یکنواختی هستند (شکل ۳، B). زمینه به طور کامل از گل آهکی تشکیل شده است. این رخساره در سطح زمین به صورت کلسی‌لوتاپیت‌های نازک لایه با رنگ خاکستری متمایل به کرم قابل مشاهده است.

مجموعه ریز رخساره‌های سنگی

ریز رخساره‌های رسوبی منعکس کننده شرایط حاکم بر محیط رسوبی هستند و به همین دلیل مطالعه آن‌ها در این مقاله منجر به تعیین شرایط پالٹواکولوژیکی و پالئوبیوژنوگرافیکی شده است [۱۲].

مطالعه ۲۲ مقطع نازک تهیه شده از رسوبات انتهایی سازند چهل کمان و ۵ نمونه شیلی از قسمت تحتانی سازند خانگیران در مرز این دو سازند و مقایسه رخساره‌های شناسایی شده با رخساره‌های استاندارد ویلسون (۱۹۷۵) و فلوگل [۸] منجر به شناسایی ۴ رخساره کربناته و یک رخساره آواری (شیل) شده است که ویژگی‌های هر یک از آن‌ها به شرح زیر است:

رخساره A (مادستون کوارتز دار)

فراوانی دانه‌های کوارتز موجود در این رخساره به حدود ۲۰٪ می‌رسد (شکل ۳، A) که در زمینه گل آهکی پراکندگی دارند. اندازه دانه‌های کوارتز در حد سیلت

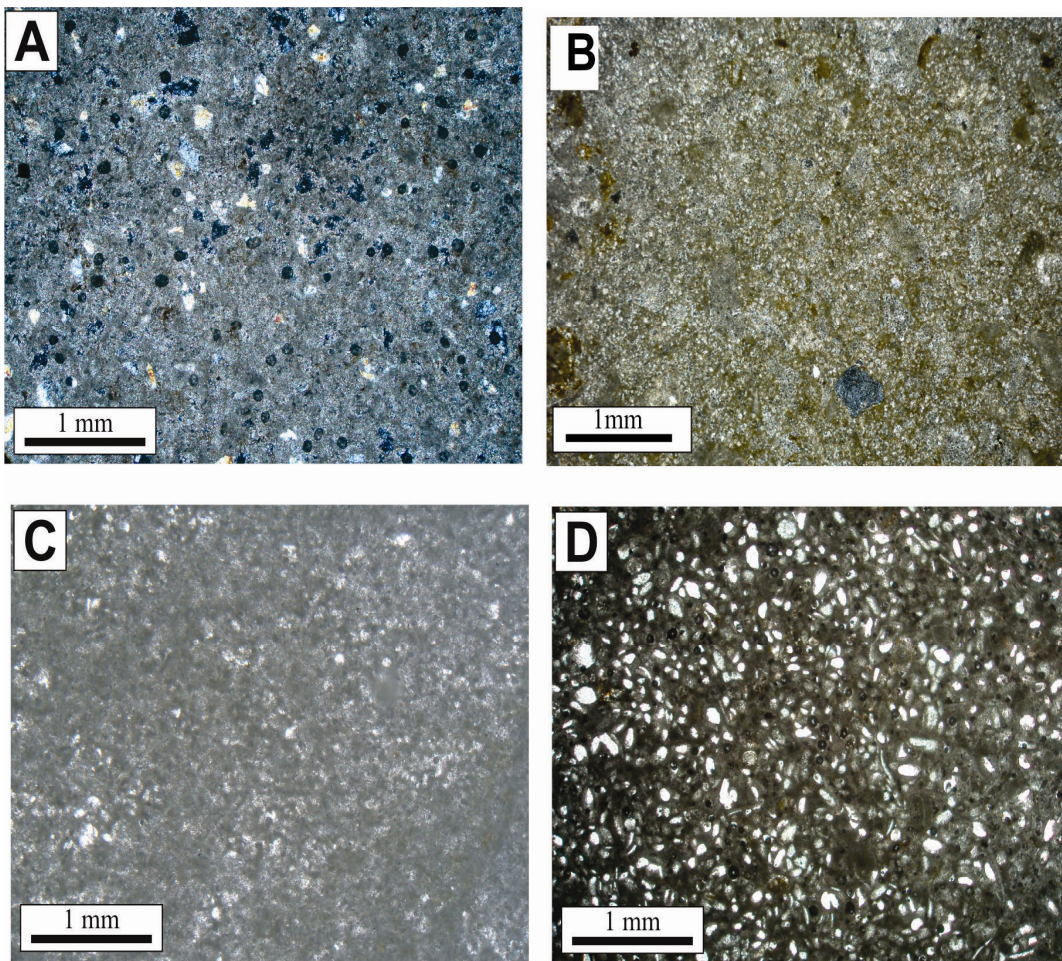
رخساره دیده می‌شود. برخی از این حجرات توسط سیلیس پر شده است و بقیه به صورت تخلخل درون دانه‌ای باقی مانده‌اند (شکل ۳، C).

رخساره E شیلی

این رخساره که مریبوط به قسمت تحتانی سازند خانگیران می‌باشد از شیل‌های آهکی سبز روشن تا سیز زیتونی تشکیل شده است که حاوی فرامینیفرهای پلانکتون *Globanomalina*, *Chiloguembelina*, *Acarinina*, *Subbotina* و *Pseudohastigerina*, *Parasobbotina* است. اندازه فرامینفرها حدود $20\text{ }\mu\text{m}$ و فراوانی آن‌ها رخساره در شرایط کاملاً کم انرژی و آرام است. از طرفی حضور فرامینیفرهای پلانکتون مانند *Acarinina esnaensis*, *Pseudohastigerina wilcoxensis* کننده تشکیل این رخساره در شرایط دریایی باز است [۴۰].

رخساره D (پکستون الیدی کوارتزدار)

این رخساره از ۳۰٪ الید با قطر متوسط حدود ۲ میلی‌متر تشکیل شده است. الیدها حالت انحلالی داشته و تنها قالب آن‌ها باقی‌مانده است به همین دلیل فابریک آن‌ها قابل شناسایی نیست. این رخساره در صحراء به صورت کالکارنایت‌های الیتی با طبقه‌بندی مورب دیده می‌شود. حفظ شدگی ساختمان داخلی الیدها نشان دهنده ترکیب کانی‌شناسی پایدار (کلسیت با منیزیم پایین) و از بین رفتن این ساختمندان می‌تواند حاکی از ترکیب ناپایدار (آراغونیت یا کلسیت با منیزیم بالا) آن‌ها باشد. از آنجا که در پالئوزن ترکیب کانی‌شناسی کربنات‌های تشکیل شده آراغونیتی بوده است [۴۵] انحلال الیدها را می‌توان به ترکیب کانی‌شناسی اولیه ناپایدار آن‌ها نسبت داد [۱۵]. در این رخساره شبکه‌ای از جلبک نیز دیده می‌شود که دارای حجرات مدور تا بیضی شکل است. انحلال ذرات بایوکلاستی به وفور در این



شکل ۳. رخساره‌های سنگی شناسایی شده در قسمت فوقانی سازند چهل‌کمان (A) مادستون کوارتزدار، دانه‌های کوارتز زاویدار با خاموشی مستقیم در زمینه گل آهکی. (B) دولومادستون، این رخساره حاوی دولومیت ریزبلوردر اندازه ۲۰ تا ۴۰ میکرون در زمینه گل آهکی می‌باشد. (C) پکستون پلوئیدی، بخش زیادی از مقطع را ذرات غیر اسکلتی پلوئید در زمینه گل آهکی تشکیل داده است. (D) پکستون الیدی کوارتزدار، الیدها حالت انحلال داشته و تنها قالب آن‌ها باقی‌مانده است.

توسط افراد مختلف مورد مطالعه قرار گرفته است [۳۳، ۴۱، ۲۷، ۳۹ و ۵۱]. پارامترهای مورد استفاده در شناسایی این جنس شامل ارتفاع صدف (H)، ماکزیمم عرض یا ماکزیمم قطر صدف (D)، ارتفاع پیچش آخر (H₁)، ارتفاع دهانه (H_a)، ماکزیمم قطر پروتوكونک (D_p)، قطر هسته در پروتوكونک (N) و همچنین تعداد پیچش‌های تلئوکونک است (شکل ۵).

سیستماتیک

- Class Gastropoda Cuvier, 1797
- Subclass Orthogastropoda Ponder & Lindberg, 1995
- Superordo Caenogastropoda Cox, 1960
- Ordo Architaenioglossa Haller, 1892
- Superfamily Ampullinoidea Cossmann, 1918
- Family Ampullinidae Cossmann, 1918
- Genus *Globularia* Swainson, 1840
- *Globularia* sp

توصیف: صدف به شکل حلزونی است که به صورت قالب داخلی بیضوی شکل با پیچ حلزونی کوتاه (Convolute) بدون ترتیبات در سطح و در این جنس پیچش نهایی بزرگ بوده بخش اصلی صدف را تشکیل می‌دهد که با پهلوی گردی دیده می‌شود. دهانه در این جنس نسبتاً بزرگ و گرد بوده و یا حالت بیضوی دارد، آپکس نامشخص است و پیچهای ابتدایی بعد از آپکس بخوبی دیده می‌شوند و خط درز بین آنها عمیق است (شکل ۶). بوم‌شناسی دیرینه و جغرافیای زیستی و دیرینه گاستروپود ذکر شده مطابق زیر می‌باشد.

بوم‌شناسی دیرینه

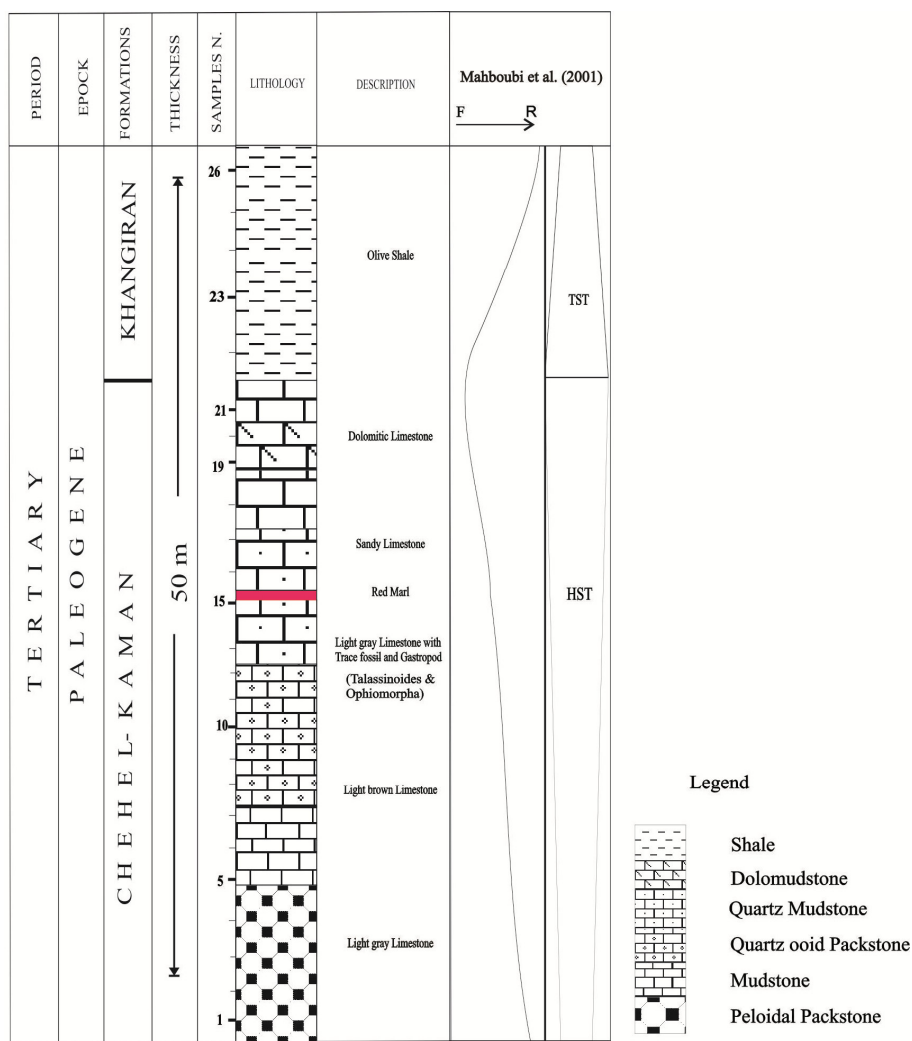
گونه‌های زیادی از این جنس از لایه‌های مختلف پالئوژن در قلمرو تیس گزارش و توصیف شده‌اند [۷]. گاستروپودهای Ampullinid جزء فسیل‌های بنتیک مهم در محیط‌های دریایی کم عمق و محیط‌های دریایی لب شور در طی پالئوژن محسوب می‌شوند. خانواده تاکساهای عمومی در ناحیه شلف داخلی است [۳۵]. این گاستروپود بصورت فراوانی در رخساره‌های آهکی، مارنی و ماسه‌سنگی مشاهده می‌شود. این گروه از گاستروپودها نماینده و نشان دهنده محیط‌های آبی لب شور و نسبتاً گرم و کم عمق مناطق گرم‌سیری تا نیمه گرم‌سیری می‌باشند [۳۰]. این گروه در رخساره‌های مادستون محیط لاغونی دیده می‌شود.

شرایط رسوب‌گذاری سازند چهل کمان

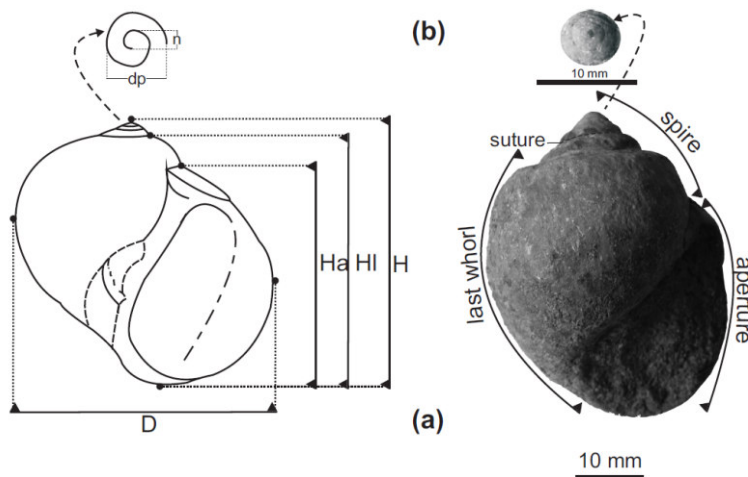
بر اساس مطالعات صورت گرفته بر روی سازند چهل کمان، محیط رسوبی این سازند به صورت یک رمپ کربناته هموکلینال با پشتی سدی تفسیر شده است که شامل زیر محیط‌های پهنه جزر و مدی، لاغون، پشتی سدی و دریایی باز است [۳۸، ۲۷ و ۶]. با توجه به رخساره‌های توصیف شده، از آنجا که ورود مقادیر بالای رسوبات سیلیسی آواری نشان دهنده تأثیر آب شیرین در محیط‌های نزدیک به ساحل است [۹ و ۶]، و همچنین وجود مقادیر بالای گل آهکی و پلوئید که حاکی از حضور یک محیط کم انرژی و آرام بوده و عدم حضور اجزاء اسکلتی نیز بیانگر شرایط نامناسب زیستی برای موجودات است [۴۳ و ۴۶] به همراه تفاسیر مربوط به محیط رسوبی این سازند در سایر مطالعات، می‌توان بخش‌های نزدیک به ساحل و لاغونی را برای رسوبات مورد بررسی در این مطالعه در نظر گرفت. همچنین نتایج مطالعات چینه‌نگاری سکانسی انجام شده توسط محبوبی و همکاران [۳۸ و ۳۷] در برخ مورد مطالعه بیانگر حضور ۳ سکانس رسوبی رده سوم در این سازند است که رسوبات مورد بررسی در این مطالعه، در سکانس سوم و در بخش انتهایی دسته رخساره سیستم تراکت تراز بالا (HST=Highstand System Tract) قرار دارد (شکل ۴).

فونای گاستروپودی

در آخرین واحدهای آهکی سازند چهل کمان رخساره A تجمع قابل توجهی از صدفهای گاستروپود دیده می‌شود که حفظشدن آنها ضعیف و تماماً مربوط به گاستروپودهای Ampullinid هستند. آنها جزء فسیل‌های شناخته شده و معروف در سازندهای پالئوژن تیس هستند که تاکنون از کشورهای فرانسه، ایتالیا، آلمان، بلغارستان، رومانی، لهستان، ترکیه و همچنین دیگر مناطق شرقی آلب گزارش شده‌اند [۳]. این گروه از گاستروپودها که دارای ارزش پالئواکولوژیکی و پالئوبیوژن‌گرافیکی مهمی در پالئوژن می‌باشند، تاکنون در پالئوژن حوضه رسوبی کپه‌داغ مورد مطالعه قرار نگرفته است و در ایران فقط از رسوبات الیگوسن منطقه اصفهان و سیرجان واقع در ایران مرکزی گزارش شده است [۳۰]. این جنس به دلیل اهمیت خاصی که دارد



شکل ۴. ستون تغییرات سنگ‌شناسی بخش فوقانی سازند چهل‌کمان در گذر تدریجی به سازند خانگیران (در محل برش الکو)



شکل ۵. تصویر شماتیکی از پارامترهای مهم در شناسایی جنس *Globularia* (اقتباس با کمی تغییر از [۳۰])



شکل ۶. گاستروپودهای Ampullinid از جنس *Globularia* در آخرین لایه‌های آهکی بخش فوقانی سازند چهل‌کمان.

حضور آن را از اؤسن پیشین تا الیگوسن پسین داریم [۳۰]. در نتیجه با توجه به حضور این تاکسا در طی پالئوسن پسین- اؤسن پیشین در حوضه رسوی کپه‌داغ می‌توان استنباط نمود که حوضه مزبور و به عبارت دیگر دریایی توران می‌تواند به عنوان شرقی‌ترین نقطه حضور این تاکسا تلقی گردد. دریایی که گونه‌های *Globularia* در آن حضور داشته‌اند از توران به سمت اروپای شرقی، مرکزی و غربی گستردگی شده بوده و در آن محیط‌های متنوعی ایجاد شده است، که مورد دلخواه برای مهاجرت گونه‌های *Globularia* بوده و به این ترتیب توزیع جغرافیایی و چینه‌شناسی Ampullinid ها توسط این دریا کنترل گردیده است.

اثر فسیل‌های همراه فونای گاستروپودی
با توجه به این که آثار فسیلی از ساختهای برجا به شمار می‌آیند، بنابراین می‌توانند از شواهدی باشند که در تفسیر محیط رسوی گاستروپودهای *Globularia* از آن‌ها استفاده می‌شود [۴۸]. برخی از این آثار فسیلی در سطح زیرین لایه تشکیل شده و برخی عمود بر سطح لایه‌بندی در اثر حفاری موجودات ایجاد می‌شوند. مانند جنس *Ophiomorpha*

جغرافیای زیستی دیرینه

این جنس دارای محدوده گسترده‌گی چینه‌شناسی از پالئوسن پسین تا الیگوسن پیشین است (شکل ۷). بنظر می‌رسد Ampullinid ها ظاهرا داخل ایالت پالئوبیوژن‌گرافی تیس منشاء گرفته‌اند و بیشترین تنوع گونه‌ای و ثبت زمین‌شناسی آن مربوط به قلمرو تیس است [۷]. این تاکسا از لایه‌های پالئوزن مناطق متنوعی در داخل و حاشیه ایالت تیس ثبت و گزارش شده است که شامل آفریقا [۵]، اروپای غربی [۱۰، ۱۳ و ۱۷]، اروپای مرکزی و شرقی [۴۱ و ۱۰، ۳۹]، آسیای مرکزی [۳] و مناطق هیمالیا [۳۱] می‌باشد.

جنس *Globularia* دارای مسیر مهاجرتی از شرق به غرب بوده است که در طی آن افرادی از این جنس از بخش‌هایی از آسیای مرکزی به سمت اروپا مهاجرت کرده‌اند و در این بین حوضه‌ی آناتولی مرکزی ترکیه بر روی مسیر اصلی مهاجرت فونای پالئوسن پسین و اؤسن پیشین قرار گرفته است (شکل ۹) [۳۰]. مسیر خیلی طولانی مهاجرت و پراکندگی سریع لارو گاستروپودها می‌تواند توجیه کننده حضور چینه‌شناسی خیلی زودتر جنس *Globularia* در بخش‌های شرقی تیس (آسیای مرکزی) باشد، که به سمت بخش‌های شرقی و غربی اروپا

آن‌ها در سطح بالایی لایه‌ها به شکل کانال‌های درهم ظاهر می‌شوند. طول این کانال‌ها از ۳ تا ۱۰ سانتی‌متر تغییر می‌کند و قطرشان تا ۱ سانتی‌متر است. بر اساس مطالعات کرایمز و فری و گولدربینگ [۲۶ و ۱۹] این آثار توسط موجودات، در محیطی با انرژی متوسط تشکیل می‌شوند [۲۶ و ۱۹] و یا ممکن است در محیط‌های جزرومودی و همچنین منطقه زیر خط اثر امواج تشکیل شود [۲۵ و ۱۴]. همچنین بر اساس مطالعات شولتز و هوبارد (۲۰۰۵)، امکان تشکیل این اثر فسیل‌ها در محیط‌های عمیق که جریان‌های آشفته حاکم است نیز وجود دارند. بنابراین چنین استنباط می‌شود که براساس رخساره‌های مطالعه شده و همچنین ایکنوفسیل‌های شناسایی شده، محیط تشکیل محیط‌های جزرومودی بوده و احتمالاً شرایط رسوی ناارامی در منطقه حاکم بوده و رسوبات تحت تأثیر آن نهشته شده‌اند. این اثرات فسیلی در دسته رخساره‌های لاغون نزدیک به ساحل دیده می‌شود [۴۹].

در برش مورد مطالعه که در لایه‌های سنگ‌آهک ماسه‌ای بخش فوقانی سازند چهل‌کمان با ضخامت متغیر از ۵۰ سانتی‌متر تا ۳ متر ایکنوفسیل *Ophiomorpha* حضور دارد (شکل ۷). این آثار حفر تک کانالی، با طول ۴ تا ۷ سانتی‌متر و به قطر ۱ سانتی‌متر می‌تواند از تونل‌های مستقیم تا تونل‌های پرپیچ و خمیده و به هم پیوسته تشکیل شده باشد [۷۴]. که به طور قائم و یا مایل منفرد، سطح لایه‌های آهکی ماسه‌ای را قطع کرده‌اند. اندرسون محیط تشکیل این ایکنوفسیل را در مواردی که بصورت قائم تا مایل باشد محیطی پرانرژی تفسیر نموده است [۸]. با توجه به حضور اثر جنس فوق در قسمت فوقانی سازند چهل‌کمان می‌توان رخساره مربوط به محیط سدی رو به لاغون را برای آن در نظر گرفت.

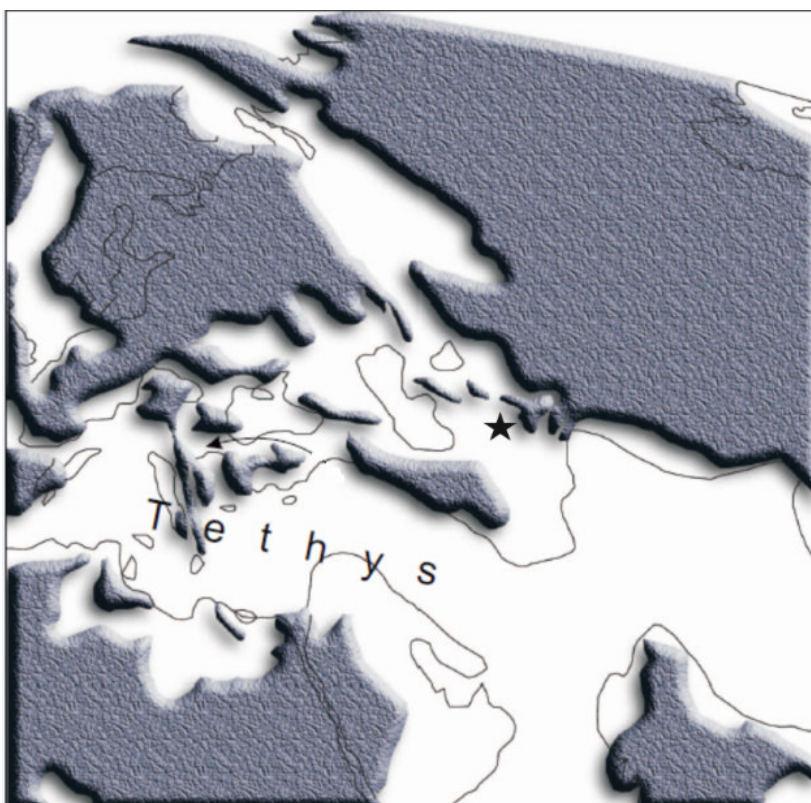
اثر جنس دیگری از نوع تقدیمهای و بنام *Thalassinoides* است که در بخش فوقانی سازند چهل‌کمان و در یکی از لایه‌های آهک ماسه‌ای بصورت فراوانی وجود دارد (شکل ۸). این اثر جنس بصورت Y و T شکل مشاهده می‌شود.



شکل ۷. آثار فسیلی افیومورفا موجود در بخش فوقانی سازند چهل‌کمان.



شکل ۸. آثار فسیلی تالاسینوئیدس موجود در بخش فوقانی سازند چهل‌کمان، آثار Y شکل در تصویر با فلش نشان داده شده است.



شکل ۹. نقشه جغرافیایی دیرینه پالئوسن پسین-آوسن پیشین، اقتباس با کمی تغییر از [۵۰ و ۳۰]، علامت ستاره موقعیت حوضه رسوی کپه‌داغ و فلش مسیر مهاجرت و انتقال افراد *Globularia* را از شرق تبتیس به غرب تبتیس نشان می‌دهد.

گرفت که بر این اساس ۴ ریز رخساره سنگی A, B, C و D تشخیص داده شد که نشان‌دهنده تبدیل قسمت‌های کم عمق (پهنه جزو مردی و لاجون) به محیط دریایی باز است. اثر فسیل‌های شناسایی شده در این رسوبات شامل

نتیجه‌گیری

در این مطالعه بخش فوقانی سازند چهل‌کمان و بخش تحتانی سازند خانگیران بر مبنای تعیین ریز رخساره‌ها، اثرات فسیلی و فونای گاستروپودی مورد مطالعه قرار

- [5] Adegoke, O.S (1977) Stratigraphy and paleontology of the Ewekoro Formation (Paleocene) of southwestern Nigeria. *Bulletins of American Paleontology* 71, 5–291.
- [6] Alsharhan, A.S., Kendall, C.G.St.C (2003) Holocene coastal carbonates and evaporites of the southern Arabian Gulf and their ancient analogues: *Earth-Science Reviews*, 61 .191–243.
- [7] Amitrov, O.V (1994) Changes in composition of the Gastropods in the western Eurasian seas at the Eocene–Oligocene Boundary. *Paleontological Journal* 28, 19–30.
- [8] Anerson, B. G (1994) A new approach to utilizing geometric configurations of Ophiomorpha nodosa in facies analyses: An example from the Eocene Torrey Sandstone, southern California. *G.S.A. Cordilleran Section Guidebook, TRIP* 3. 60-63
- [9] Bachmann, M., Hirsch, F (2006) Lower Cretaceous carbonate platform of the eastern Levant(Galilee and the Golan Heights): stratigraphy and second-order sea-level change., *Cretaceous Research*. 27, 487- 512.
- [10] Bayan, F (1873) Notes sur quelques fossiles tertiaires. Savy, Paris. BELLARDI, L. 1852. Catalogue raisonne des fossiles nummulitiques du comte de Nice. *Memoires de la Societe geologique de France* 2, 205–300.
- [11] Berberian, M., King, G.C.P (1981) Toward a paleogeography and tectonic evolution of Iran. *Canadian Journal of Earth Science* 18, 210–265.
- [12] Boussac, J (1911) Etudes paleontologiques sur le Nummulitique Alpin. Paris.
- [13] Brigantini, T (1985) Cypreidi, Naticidi, e Olividi (Gasteropodi) del Cenozoico Nell’Italia Nordorientale. *Memorie di Scienze Geologiche*37, 407–422.
- [14] Bromly, R.G (1990) Trace fossils: Biology and Taphonomy. Unwin Hyman, Boston. 280 p.
- [15] Cantrell, D. L (2006) Cortical fabrics of Upper Jurassic ooids, Arab Formation, Saudi Arabia: Implications for original carbonate mineralogy *Sedimentary Geology*, 186, p. 157–170.
- [16] Colombie, C., and Strasser A (2005) Facies, cycles, and controls on the evolution of a keep-up carbonate platform (Kimmeridgian, Swiss Jura): *Sedimentology*, 52, 1207–1227
- [17] Cossmann, M (1889) Catalogue illustre des coquilles fossiles de l’Eocene des environs de Paris. *Annales Societe royale Malacologique de Belgique*24, 7–385.
- [18] Cossmann, M. and Pissarro, G (1911) Iconographie complete des coquilles fossiles افیومورفا و تالاسینوئیدس می‌باشد که در رسوبات حاوی رخسارهای کم عمق (جزر و مدی و لagonی) تشکیل شده‌اند.
- در این مطالعه گاستروپودهای Ampullinid از جنس *Globularia* برای اولین بار از حوضه رسوبی کپه‌داغ گزارش شده است. این جنس در رخسارهای لagonی شناسایی شده و جغرافیایی زیستی دیرینه آن نشان دهنده تعلق حوضه کپه‌داغ به قلمرو تیس می‌باشد. حضور این جنس در بخش فوقانی سازند چهل‌کمان (پالتوسن پسین- اوسن پیشین) در حوضه رسوبی کپه‌داغ و ظهر آن در لایه‌های به سن بعد از اوسن پیشین در اروپا، نشان‌دهنده مسیر مهاجرت جنس مزبور از شرق به غرب بوده که می‌توان حوضه توران را شرقی‌ترین نقطه حضور این تاکسا در نظر گرفت که در طی آن حوضه آناتولی ترکیه نیز در وسط این مسیر قرار گرفته است.
- ### تشکر و قدردانی
- نویسنده‌گان این مقاله مراتب تقدیر و تشکر خود را از داوران این نوشتار به جهت ارائه نظرات سازنده ابراز می‌دارند. هم‌چنین از مدیریت گروه زمین‌شناسی دانشگاه‌های ارومیه و فردوسی مشهد به دلیل ایجاد زمینه و بستر لازم جهت انجام تحقیقات مناسب کمال تشکر و سپاس را دارند.
- ### منابع
- [۱] افشار حرب، ع (۱۳۷۳) زمین‌شناسی کپه‌داغ . انتشارات سازمان زمین‌شناسی کشور، تهران، شماره ۱۱، ۲۷۶ صفحه.
 - [۲] حیدری، ا (۱۳۸۶) بررسی چینه‌نگاری سکانسی سازندهای پسته‌لیق و چهل‌کمان در ناآدیس شیخ کپه داغ، پایان نامه کارشناسی ارشد، دانشگاه فردوسی مشهد، ۳۹۱ صفحه.
 - [۳] Abich, H (1882) *Geologische Forschungen in den Kaukasuslandern. II. Geologie des Armenischen Hochlandes. I. Westhalfe.* A. Holder, Wien.
 - [۴] Adachi, N., Ezaki, Y. and Liu, J (2004) The origins of peloids immediately after the end-permian extinction, Guizhou Province, South China: *Sedimentary Geology*, 164, p. 161-178.

- Geologo-Razvedocinovo Obeinenia SSSR. Leningrad- Moscova.
- [33] Karagiuleva, J.D (1964) Les Fossiles de Bulgarie Paleogene Mollusca. Academie des Sciences de Bulgarie, p. 270.
- [34] Kranz, W (1910) Das Tertiär zwischen Castelgomberto Monteche Moggiore Creazzo und Monteviae in Vicentin. Neues Jahrbuch für Geologie und Palaontologie 29, 180–268.
- [35] Kaunhowen, F (1898) Die Gastropoden der Maestrichter Kreide. *Palaeontologische Abhandlungen (neue Folge)*, 4 (1): 1-132.
- [36] MacEachern, J.A., Bann, K.L. Pemberton S.G. and Gingras, M.K (2007) The ichnofacies paradigm: High-resolution paleoenvironmental interpretation of the rock record. In: McIlroy, D. (ed.), *The Application of Ichnology to Palaeoenvironmental and Stratigraphic Analysis*, Geological Society, London, Special Publication, v 228, p. 179-212.
- [37] Mahboubi, A., Moussavi-Harami, R., Lasemi, Y. and Brenner, R.L (2001) Sequence stratigraphy and sea level history of the upper Paleocene strata in the Kopet-Dagh basin, northeastern Iran, *American Association of Petroleum Geologists Bulletin*, 85, p. 839-895.
- [38] Mahboubi, A., Moussavi-Harami, R., Brenner, R.L. and Gonzalez, L.A (2002) Diagenetic history of the Late Paleocene potential carbonate reservoir rocks, Kopet- Dagh Basin, NE Iran. *Petroleum Geology*, 25, 465-484.
- [39] Meszaros, N (1957) Fauna de moluste a depositelor palaeogene din nordvestul Transilvaniei, Bucureşti.
- [40] Miller, K.G. and Snyder, Liu, Ch., Browning, J., Olsson, K (1997) Upper Cretaceous to Miocene planktonic foraminifera biostratigraphy, Scientific results, Proc, ODP, Vol.150 X,
- [41] Moisescu, V (1972) Mollusques et Echinides Stampiens et Egeriens de la Region de Cluj-Huedin-Romania (Nord-Ouest de la Transylvanie). Institut Geologie, p. 152.
- [42] Okan, Y. and Hoşgör, İ (2008) The Ampullinid Gastropod *Globularia* (Swainson 1840) from the Late Thanetian-Early Ilerdian of Kirkkavak Formation (Polatlı-Ankara) of the Tethyan Realm. *Turkish Journal of Earth Sciences*, 17, 785-801.
- [43] Palma, R., López-Gómez, J. and Piethé, R (2007) Oxfordian ramp system (La Manga Formation) in the Bardas Blancas area (Mendoza Province) Neuquén Basin, Argentina: Facies and depositional sequences *Sedimentary Geology*, 195, p. 113–134.
- [44] Popescu-Voitesti, I (1910) Contributions à l'Etude Stratigraphique du Nummulitique de la Depression Getique (Roumanie de l'Eocene des environs de Paris. Hermann, Paris.
- [19] Crimes, T.P (1977) Trace fossils of an Eocene deep sea fan, northern Spain. In: Crimes, T. P., Harper, J. C. (Eds.), *Trace fossils2: Geological Journal, Special Issue 9*, Seel House Press, p. 71-90.
- [20] Dickson, J.A.D (1966) Carbonate identification and genesis as revealed by staining: *Sedimentary Petrology*. 36, 441-505.
- [21] Dunham, R.M (1962) Classification of Carbonate Rock according to Deposition Texture: *AAPG Memoir 1*, 108- 121.
- [22] Eames, F.E (1952) A contribution to the study of the Eocene in western Pakistan and western India C. The description of the Scaphopoda and Gastropoda from Standard sections in the Rakhi Nala and Zinda Pir areas of the western Punjab and in the Kohat district. *Philosophical Transactions of the Royal Society of London, Biological Sciences* 236, 1–168.
- [23] Flügel, E (2010) *Microfacies of Carbonate Rocks- Analysis Interpretation and Application*: Springer- Verlag Berlin, 967 pp.
- [24] Frey, R. W., Howard, J. D., and Pryor, W. A (1978) Ophiomorpha: its morphologic taxonomic and environmental significance. *Palaeogeogr. Palaeoclim. Palaeoecol.* 23: 199-229
- [25] Frey, R.W., Pemberton, S. G. and Saunders, T. D. A (1990) Ichnofacies and bathymetry: a passive relationship: *Journal of Paleontology*, 64, 155-158.
- [26] Frey, R. W. and Goldring, R (1992) Marine events beds and reconnection surfaces are revealed by trace fossil analysis: *Geological Magazine*, 129, 325-335.
- [27] Furon, R. & Soyer, R (1947) Catalogue des fossiles tertiaires du Bassin de Paris. Paris.
- [28] Gocev, P (1933) Paleontologische und stratigraphische Untersuchungen über das Eocan von Varna. *Zeitschrift der Bulgarischen Geologischen Gesellschaft* 5, 1–82.
- [29] Grabau, A.W (1904) On the classification of sedimentary rocks. *American Geologists*, 33, p. 228-247.
- [30] Harzhauser, M (2004) Oligocene Gastropod Faunas of the Eastern Mediterranean (Mesohellenic Trough/Greece and Esfahan-Sirjan Basin/Central Iran. *Courier Forschungsinst Senckenberg* 248, 93–181.
- [31] Iqbal, M.W.A (1973) Biostratigraphy of the Tiyon Formation (Middle Eocene) of Sind, Pakistan. *Records of the Geological Survey of Pakistan* 22, 1–40.
- [32] Isaeva, A.I (1933) Fauna Gastropoda alahlihskovo eocena in Trudi Bsesoiuznovo

- Occidentale). Theses, la Faculte des Sciences de Paris.
- [45] Sandberg, P.A (1983) An oscillating trend in Phanerozoic non-skeletal carbonate mineralogy, *Nature*, 305, p. 19–22.
- [46] Sandullia, R., and Raspinib, A (2004) Regional to global correlation of lower Cretaceous (Hauterivian–Barremian) shallow-water carbonates of the southern Sedimentary Geology, 165, 117-153.
- [47] Seilacher, A (1981) Towards an evolutionary stratigraphy. *Acta Geologica Hispanica*, 16: 39-44.
- [48] Seilacher, A (2007) *Trace Fossil Analysis*. Springer-Verlag, Berlin, Heidelberg, New York, 226 pp.
- [49] Shultz, M.R., Hubbard, S.M (2005) Sedimentology, stratigraphic architecture, and ichnology of gravity-flow deposits partially ponded in a growth-fault-controlled slope minibasin, Tres Pasos Formation (Cretaceous), southern Chile. *Journal of Sedimentary Research*, 75, 440-453.
- [50] Smith, A., & Funnell, B (1994) *Atlas of Mesozoic and Cenozoic Coastlines*. Cambridge University Press, 1–99.
- [51] Vlaicu-Trim, N (1963) Stratigrafia Eocenului din Regiunea de la Sud- Vest de Cluj. Editura Academiei Republicii Populare Romine.
- [52] Wrigley, A (1946) English Eocene and Oligocene Ampullinids. London, 88–104.
- [53] Zepeda, M. A (1998) Planktonic foraminiferal diversity, equitability and biostratigraphy of the uppermost Campanian-Maastrichtian; ODP Leg 122, Hole 762, Exmouth Plateau, NW Australia, eastern Indian Ocean. *Cretaceous Research*, 19: 117-152.